

## 通信プロトコルにおける オーバーフローの多項式時間検証法

A Polynomial Time Validation Algorithm  
for Overflows in Communication Protocols

菅沼 知久  
Tomohisa SUGANUMA

黒沢 聰  
Kaoru KUROSAWA

東京工業大学 物理情報工学専攻  
Dpt. of Information Processing Tokyo Institute of Technology

あらまし 通信プロトコルは、多くの場合、2つの有限状態機械間の通信という形でモデル化される。この様にモデル化されたプロトコルにおいて、メッセージが一種類の場合、デッドロックの検証は状態数に関する多項式時間でできることができることが既に証明されている。本稿はメッセージが一種類の場合、無限オーバーフローの検証も多項式時間でできることを示すものである。この結果は、有限オーバーフローの検証時間の上限をあたえるとともに、全てのメッセージを一種類に変換したプロトコルにオーバーフローが存在しなければ、元のプロトコルにもオーバーフローが存在しないという意味において重要である。

**Abstract** Many communication protocols are modeled by two communicating finite state machines. A polynomial time algorithm for deadlock detection has been known for the protocols with one type message. This paper shows a polynomial time algorithm which detects infinite overflows in such protocols. The result is useful because any protocol is free from overflows if its all different messages are converted to one type and no overflow exists in the modified protocol.

### 1. まえがき

オンラインやデータベース等のように、いくつかの装置が各々連絡をとりあって動作し全体として所定の目的を達成するようなシステムが今日ではますます重要になってなってきているが、このようなシステムを実現するためには、各装置の間でのデータのやり取り、即ち通信が不可欠である。この通信を行うためには計算機、端末などの複数の各通信装置の間に1つの通信に関する約束が必要である。この通信の約束のことを通信プロトコルと言う。

一方、このような複数の装置から成り立つシステムが正しく動作するためには、プロトコル

が要求される仕様を満足するとともに、論理的な矛盾を含んでいない必要がある。プロトコルが複雑になるにともない、これらのことの検証する効率のよい方法の開発が望まれている。

プロトコルは多くの場合、2つの有限状態機械の通信という形でモデル化される。このモデル化されたプロトコルに於て、メッセージが一種類の場合、デッドロックの検証は多項式時間でできることができることが既に証明されている<sup>[1]</sup>。しかし、無限オーバーフローの検証時間に関してはこれまでほとんど報告されていない（表1参照）。ただし、無限オーバーフローとはチャンネル上の未処理メッセージの数が無限大となる状態で、通信プロトコルのエラーの一つである。

本稿はオーバーフローの検証法の開発を目的とし、その結果としてメッセージが一種類の場合、無限オーバーフローの検証が多項式時間でできることを証明する。この結果は、有限オーバーフローの検証時間の上限をあたえるとともに、全てのメッセージを一種類に変換したプロトコルにオーバーフローが存在しなければ、元のプロトコルにもオーバーフローが存在しないという意味において重要である。

表1 2プロセス間のプロトコルの検証

プロトコルの種類	一般	メッセージ一種類
デッドロック	決定不能 <sup>[2]</sup>	多項式時間 <sup>[1]</sup>
ライブロック	決定不能 <sup>[3]</sup>	決定可能 <sup>[3]</sup>
オーバーフロー	?	本稿

## 2. 準備

### 2.1 状態遷移図

通信を行う各プロセス（計算機等）は、ラベル付き有向グラフである状態遷移図によって記述される。状態遷移図の各枝は  $-ai$  または  $+ai$  とラベル付けされ、

$-ai$  はメッセージ  $ai$  の送信

$+ai$  はメッセージ  $ai$  の受信

を表す（図1参照）。

合成状態  $[v, w, X, Y]$

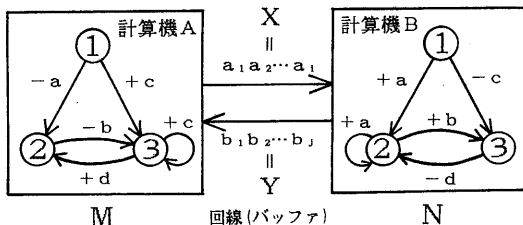


図1 プロトコルのモデル

また、ラベルの種類によって各枝はつぎの2つのいずれかに分類される（図2参照）。

sending edge :  $-ai$  とラベル付けされている枝  
receiving edge :  $+ai$  とラベル付けされている枝

また、各状態遷移図の特定の1つの節点は初期状態と呼ばれる。

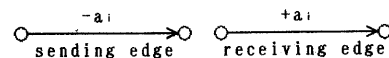


図2 sending edge と receiving edge

### 2.2 合成状態

通信を行う2つの有限状態機械  $M$  と  $N$  の合成状態は、 $[v, w, X, Y]$  で定義される。ただし、

$v$  :  $M$  の状態

$w$  :  $N$  の状態

$X$  :  $M$  から  $N$  へのチャネル上のメッセージの系列

$Y$  :  $N$  から  $M$  へのチャネル上のメッセージの系列

また、 $[v_0, w_0, \epsilon, \epsilon]$  は初期合成状態と呼ばれる。ただし、

$v_0$  :  $M$  の初期状態

$w_0$  :  $N$  の初期状態

$\epsilon$  : 空系列

### 2.3 無限オーバーフロー

チャネル上のメッセージ数  $|X|$  または  $|Y|$  が無限大となる到達可能な合成状態  $[v, w, X, Y]$  が存在するとき、この状態を無限オーバーフローと呼ぶ。実際のシステムにおいてはこれらのメッセージはある容量を持ったバッファに蓄えられるので、無限オーバーフローが存在するプロトコルは実現不可能である。

### 2.4 メッセージが一種類のプロトコル

有限状態機械  $M$  と  $N$  のすべてのメッセージを一種類に変換した有限状態機械を  $\tilde{M}$ ,  $\tilde{N}$  とする（図1は図3となる）。 $\tilde{M}$ ,  $\tilde{N}$  における合成状態  $[v, w, x, y]$  を以下のように定義する。

$v, w : \tilde{M}, \tilde{N}$  の状態

$x$  :  $\tilde{M}$  から  $\tilde{N}$  へのチャンネル上のメッセージ数  
 $y$  :  $\tilde{N}$  から  $\tilde{M}$  へのチャンネル上のメッセージ数

以後はメッセージが一種類のプロトコルのみについて考える。

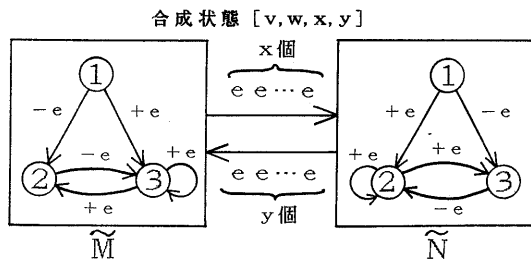


図3 メッセージが一種類のときのモデル

## 2.5 合成状態遷移図

合成状態遷移図は、初期状態から到達可能な合成状態を節点とし、それらの間の可能な遷移を有向枝で示した有向グラフである。

図3から導かれる合成状態遷移図の一部を図4に示す。

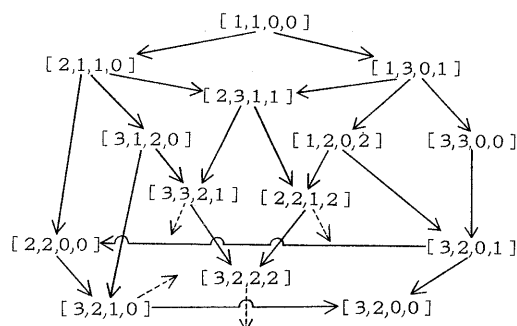


図4 合成状態遷移図

## 2.6 canonical form<sup>[4]</sup>

有限状態機械  $M$  と  $N$  の遷移が対になって起こる ( $M, N$  ともに送信,  $M, N$  ともに受信,  $M$  受信,  $N$  送信,  $M$  送信,  $N$  受信の4つのパターンのいずれか) と制限した場合の合成状態遷移図を canonical form という (図5参照)。

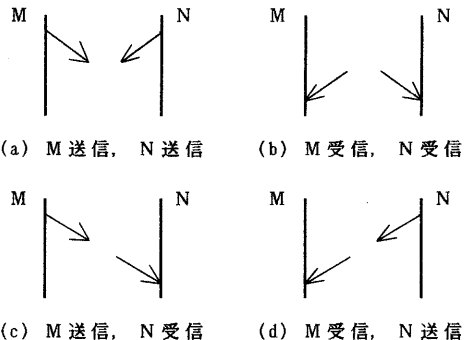


図5 canonical form の状態遷移

図3から導かれる canonical form の一部を図6に示す。

### [補題2]

canonical formにおいては、  
 $(M \rightarrow N)$  のメッセージ数  
 $= (N \rightarrow M)$  のメッセージ数

である。

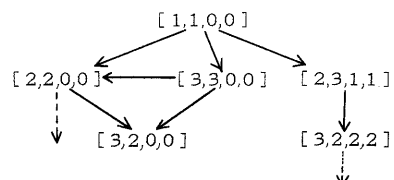


図6 canonical form

## 3. 2プロセスのプロトコルにおける無限オーバーフローの多項式時間検証法

2プロセスの通信プロトコルにおいて次の補題が成り立つ。

### [補題1]

メッセージを一種類に変換したプロトコル  $\tilde{M}, \tilde{N}$  に無限オーバーフローが存在しなければなければ、もとのプロトコル  $M, N$  にも無限オーバーフローは存在しない。

(証明)

もとのプロトコルにおいて到達可能な任意の

合成状態が、メッセージを一種類に変換したプロトコルにおいても到達可能であることを示せばよい。

もとのプロトコルの合成状態遷移において、

$$s_i = [v_i, w_i, x_i, y_i]$$

$$\rightarrow s_{i+1} = [v_{i+1}, w_{i+1}, x_{i+1}, y_{i+1}]$$

が遷移可能ならば、明らかにメッセージを一種類に変換したプロトコルにおいても、

$$\tilde{s}_i = [v_i, w_i, |x_i|, |y_i|]$$

$$\rightarrow \tilde{s}_{i+1} = [v_{i+1}, w_{i+1}, |x_{i+1}|, |y_{i+1}|]$$

が遷移可能である。

よって、もとのプロトコルにおいて到達可能な合成状態は、メッセージを一種類に変換したプロトコルにおいても到達可能である。

(証明終わり)

### 3.1 同期形プロトコル

2つの有限状態機械における遷移が対となって起こるとき、これを同期形プロトコルと呼ぶ。また、その合成状態遷移図は canonical form となる。よって、次の定理が成り立つ。

#### [定理 1]

メッセージが一種類の同期形プロトコルにおいて、無限オーバーフローが存在する必要十分条件は、チャネル上のメッセージ数が  $mn$  である合成状態が存在することである（図 7）。

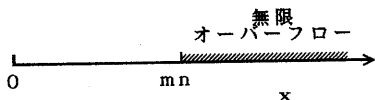


図 7 定理 1

#### (証明)

必要性：チャネル上のメッセージ数が  $mn$  以上になる合成状態が存在するので、メッセージ数が  $mn$  となる合成状態も必ず存在する。

十分性：初期合成状態  $s_0 = [v_0, w_0, 0, 0]$  から  $s = [v, w, mn, mn]$  への遷移が存在したとする。これを  $s_0 \rightarrow s_1 \rightarrow \dots \rightarrow s_r (s = s_r)$  とする。各遷移では高々 1 しかチャネル上のメッセージ数は増加しないので、 $r \geq mn$  である。ここで、 $v$  と

$w$  の組合せは  $mn$  個である。一方、 $s_0$  から  $s_r$  までの合成状態の数は  $mn+1$  以上あるので、この中に少なくとも 1 組の  $[v_i, w_i]$  が等しい合成状態が存在する。これを、 $s_i = [v_i, w_i, x_i, y_i]$ 、 $s_j = [v_j, w_j, x_j, y_j] (s_i \rightarrow \dots \rightarrow s_j)$  とする。ここで、 $x_i - x_j = k \geq 0$  の場合には、合成状態遷移図に  $s_i$  から  $s_j$  への遷移を取り除いた遷移系列も存在する。この系列上では、 $s_r = [v, w, mn+k, mn+k]$  となるので、 $q \leq r$  である  $s_q = [v_q, w_q, mn, mn]$  が存在する。この  $q$  を新たな  $r$  として上記の操作を繰り返すと、ついには、 $x_j - x_i = k > 0$  となる  $s_i, s_j$  が存在する。ゆえに、この  $s_i$  から  $s_j$  への遷移を繰り返した、

$$s_0 \rightarrow \dots \rightarrow s_i = [v_i, w_i, x_i, y_i]$$

$$\rightarrow \dots \rightarrow s_j = [v_j, w_j, x_i + k, y_i + k]$$

$$\rightarrow \dots \rightarrow [v_i, w_i, x_i + 2k, y_i + 2k]$$

$$\vdots$$

$$\rightarrow \dots \rightarrow [v_i, w_i, x_i + hk, y_i + hk]$$

$$(h=1, 2, \dots)$$

という遷移が合成状態遷移図に存在するので無限オーバーフローが起こる（図 8 参照）。

(証明終わり)

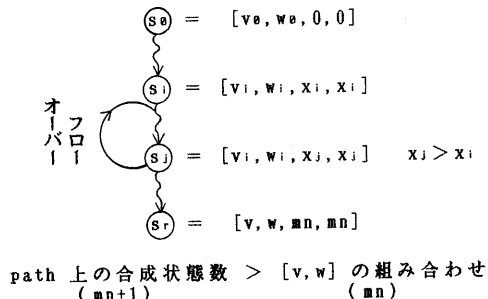


図 8 同期形プロトコルのオーバーフロー

#### [系 1.1]

同期型プロトコルにおいて、無限オーバーフローが存在するかどうかは  $O(m^3 n^3)$  で判定できる（証明略）。

### 3.2 非同期形プロトコル（特殊な場合）

2つの有限状態機械における遷移のスピードが必ずしも等しくないとき、これを非同期形プロトコルと呼ぶ。一般的のプロトコルは非同期形

である。

### [定理 2]

メッセージが一種類の非同期形プロトコルにおいて、以下の条件を満たすある正の整数  $k$  が存在するならば、無限オーバーフローが存在する。

初期状態  $s_0$  から  $s=[v, w, x, y]$  (ただし、 $\text{Max}(x, y)=k_{mn}$ ) への遷移が存在し、その遷移系列上の各合成状態  $s_i=[v_i, w_i, x_i, y_i]$  において、 $\text{Min}(x_i, y_i) < k$  (図 9 参照)。

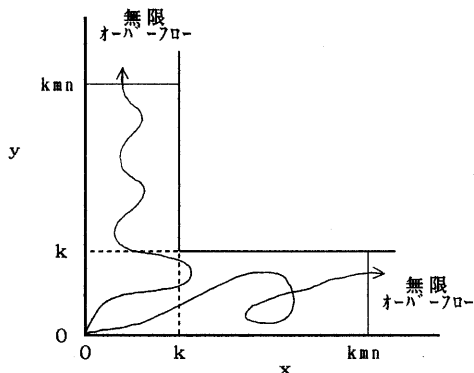


図 9 定理 2 の説明

### (証明)

$x=k_{mn}$  となる場合について考える ( $y=k_{mn}$  の場合も同様に証明できる)。

$s_0$  から  $s$  への遷移を  $s_0 \rightarrow s_1 \rightarrow \dots \rightarrow s_r$  ( $s=s_r$ ,  $s_i=[v_i, w_i, x_i, y_i]$ ) とする。ここで、 $\text{Max}(x_i, y_i)=k$  となる最初の合成状態を  $s_h$ ,  $x_i=k$  となる最後の  $i$  を  $h'$  とする。すると、各遷移では高々 1 しか  $x_i, y_i$  は増加しないので、

$$\begin{aligned} h &\geq k \\ r - h' &\geq k_{mn} - k \end{aligned}$$

である。よって、 $s_0$  から  $s_{h-1}$  まで遷移の中に  $k$  個、 $s_{h'}$  から  $s_r$  までの遷移の中に  $k_{mn}-k+1$  個、合計  $k_{mn}+1$  個以上の  $y_i < k$  である合成状態が存在する (図 10 参照)。一方、 $y_i < k$  である  $v$  と  $w$  と  $y$  の組合せは  $k_{mn}$  であるから、 $s_0$  から  $s_{h-1}$  までと  $s_{h'}$  から  $s_r$  までの合成状態の中に最低 1 組の  $[v_i, w_i, y_i]$  が等しい合成状態  $s_i=[v_i, w_i, x_i, y_i]$  と  $s_j=[v_i, w_i, x_j, y_j]$

$(s_i \rightarrow \dots \rightarrow s_j)$  が存在する。ここで、 $x_i \geq x_j$  ならば、定理 1 の証明と同様に  $s_i$  から  $s_j$  への遷移を取り除いた  $s_0$  から  $s_q=[v_q, w_q, x_q, k_{mn}]$  ( $q \leq r$ ) への遷移が存在する。この  $q$  を新たな  $r$  として上記の操作を繰り返すと、必ず  $x_i < x_j$  となる  $s_i, s_j$  が存在する。ゆえに、 $s_i$  から  $s_j$  への遷移を繰り返すことにより、無限オーバーフローが起こる。

(証明終わり)

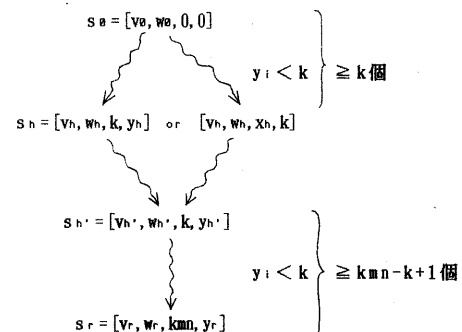


図 10  $s_0$  から  $s_r$  への遷移

この非同期形のプロトコルにおいて片方のチャンネル上のメッセージ数がある正の整数  $k$  で制限されているとき、定理 2 より次の系 2.1、2.2 が成り立つ。

### [系 2.1]

メッセージが一種類で常に  $x < k$  である非同期プロトコルにおいては、 $y=k_{mn}$  となることが ( $y < k$  ならば、 $x=k_{mn}$  となることが)、無限オーバーフローが存在する必要十分条件である。

### [系 2.2]

任意の合成状態  $[v_i, w_i, x_i, y_i]$  において  $\text{Min}(x_i, y_i) < k$  であるとき、無限オーバーフローが存在するかどうかは  $O(k^2 m^3 n^3)$  で判定できる (証明略)。

## 3.3 非同期形プロトコル (一般の場合)

### [定理 3]

メッセージが一種類のプロトコルにおいて、 $s=[v, w, x, y]$  が到達可能ならば、任意の整数  $z$  ( $0 \leq z \leq \text{Min}(x, y)$ ) に対して canonical form

において到達可能な  $s' = [v', w', z, z]$  が少なくとも一つ存在する。

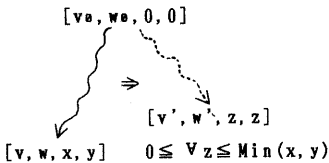


図 1.1 定理 3

#### (証明)

$x \geq y$  の場合について考える ( $x \leq y$  の時も同様にして証明できる)。

$s$  が到達可能であるから、 $s_0 \rightarrow s_1 \rightarrow \dots \rightarrow s_r$  ( $s_0$  は初期状態、 $s=s_r$ ) という状態遷移が存在する。また、 $s_i$  から  $s_{i+1}$  へは枝  $f_{i+1}$  を通って遷移するとする。ここで、 $f_i$  ( $i=0, 1, \dots, r-1$ ) は M または N の枝である。この枝の列を F とし、 $F = f_1, f_2, \dots, f_r$  を、M の枝の列  $D = d_1, d_2, \dots, d_n$  と N の枝の列  $E = e_1, e_2, \dots, e_m$  とに分ける。ここで、D および E に含まれる sending edge と receiving edge の数をそれぞれ  $n_s(D)$ ,  $n_r(D)$ ,  $n_s(E)$ ,  $n_r(E)$  とすると、2つのチャンネルに残っているメッセージ数は  $x$  と  $y$  であるから、

$$n_s(D) - n_r(E) = x$$

$$n_s(E) - n_r(D) = y$$

である。よって、 $k = x - y$  ( $\geq 0$ ) とすると、

$$n_s(D) + n_r(D) = n_s(E) + n_r(E) + k$$

より、

$$h = h' + k \geq h'$$

となる。

つぎに、Mにおいて枝  $d_i$  ( $i=0, 1, \dots, h$ ) は  $v_i$  から  $v_{i+1}$  へ、Nにおいて枝  $e_i$  ( $i=0, 1, \dots, h'$ ) は状態  $w_i$  から  $w_{i+1}$  へのびているとする。

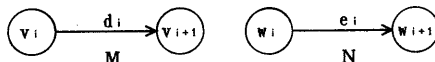


図 1.2 各枝と節点との関係

canonical form における状態遷移  $s'_0 \rightarrow s'_1 \rightarrow \dots$

$\rightarrow s'_h$  を次のような規則によって作る。

- 1)  $s'_0$  を初期合成状態とする。
- 2)  $s'_i = [v_i, w_i, x_i, x_i]$  ( $i=1, 2, \dots, h'$ ) とする。ただし、 $x_i$  は以下のようにして決める。
  - a)もし、 $d_i$  が sending edge で  $e_i$  が receiving edge ならば、 $x_i = x_{i-1}$ 。
  - b)もし、 $d_i$  が receiving edge で  $e_i$  が sending edge ならば、 $x_i = x_{i-1} + 1$ 。
  - c)もし、 $d_i$  と  $e_i$  が sending edge ならば、 $x_i = x_{i-1} + 1$ 。
  - d)もし、 $d_i$  と  $e_i$  が receiving edge ならば、 $x_i = x_{i-1} - 1$ 。

$s'_0$  から  $s'_h$  への遷移が可能であることを示すには、 $x_i \geq 0$  ( $i=1, 2, \dots, h'$ ) を示せばよい。

ここで、次のような D, E の部分列を考える。

$$D' = d_1, d_2, \dots, d_i$$

$$E' = e_1, e_2, \dots, e_i \quad (i=1, 2, \dots, h')$$

F の中で  $d_i$  が  $e_i$  の後に現れるとして、次のような F の部分列を考えると、

$$F' = f_1, f_2, \dots, e_i, \dots, d_i$$

$F'$  の中の M の sending edge の数は  $n_s(D')$  である。 $F'$  の中の N の receiving edge の数を  $n_r(E'')$  とすると、次の式が成り立つ。

$$n_r(E'') \geq n_r(E') \quad (1)$$

$F'$  は F の部分列であるから、 $F'$  による遷移は可能である。よって、

$$n_s(D') - n_r(E'') \geq 0 \quad (2)$$

である。(1), (2)式より、

$$\begin{aligned} n_s(D') - n_r(E') &\geq n_s(D') - n_r(E'') \\ &\geq 0 \end{aligned} \quad (3)$$

となる。ここで、

$$\begin{aligned} n_s(D') + n_r(D') &= n_s(E') + n_r(E') \\ &= i \end{aligned}$$

であるから、(3)式より、

$$\begin{aligned} x_i &= n_s(D') - n_r(E') \\ &= n_s(E') - n_r(D') \\ &\geq 0 \end{aligned} \quad (4)$$

となる。 $e_i$  が  $d_i$  の後に現れる場合にも同様にして(4)式が成立する。

以上より、canonical formにおいても  $s'_{h'}$  は到達可能である。ここで、

$$\begin{aligned} D_1 &= d_1, d_2, \dots, d_h \\ D_2 &= d_{h'+1}, \dots, d_h \end{aligned}$$

とすると、

$$n_s(E) = n_r(D_1) + n_r(D_2) = y$$

であるから、

$$\begin{aligned} x_{h'} &= n_s(E) - n_r(D_1) \\ &= y + n_r(D_2) \\ &\geq y \end{aligned}$$

となる。各遷移において  $x_i$  は高々 1 しか増えないので、 $s'_0$  から  $s'_{h'}$  への遷移の途中において  $x'_k = z$  ( $0 \leq k \leq y$ ) となる  $s'_k$  が必ず存在する。よって、 $s' = s_k$  は到達可能である。

(証明終わり)

定理 3 から次の系 3.1 が得られる。

### [系 3.1]

メッセージが一種類のプロトコルにおいて 2 つのチャネル上のメッセージ数が等しい合成状態  $s = [v, w, x, x]$  が合成状態遷移で到達可能である必要十分条件は、canonical formにおいても  $s$  が到達可能であることである。

(証明)

必要性: canonical form は合成状態遷移図の部分グラフである。よって、canonical formにおいて  $s$  が到達可能であれば合成状態遷移においても到達可能である。

十分性: 定理 3において、 $y=x, z=x$  とすることにより、合成状態遷移で  $s = [v, w, x, x]$  が到達可能ならば、canonical formにおいて到達可能なる  $s' = [v', w', x, x]$  が存在する。この場合、定理 3 の証明における  $s'$  の作り方から  $v' = v, w' = w$ 、すなわち、 $s' = s$  となる。よって、 $s$  は canonical formにおいても到達可能である。

(証明終わり)

メッセージが一種類でチャネル上のメッセージ数の上限が保証されていない一般的のプロトコルにおいて、無限オーバーフローの検証に役立つ以下の定理が成り立つ。

### [定理 4]

メッセージが一種類の非同期形のプロトコルにおいて、 $s = [v, w, mn, mn]$  が到達可能ならば無限オーバーフローが存在する。

(証明)

$s$  が到達可能であるならば系 3.1 より、 $s$  は canonical formにおいても到達可能である。よって、定理 1 より無限オーバーフローが存在する。

(証明終わり)

### [定理 5]

メッセージが一種類のプロトコルにおいて、無限オーバーフローが存在するための必要十分条件は、 $s = [v, w, x, y]$  ( $\text{Max}(x, y) = m^2 n^2$  または  $\text{Min}(x, y) = mn$ ) が到達可能であることである。

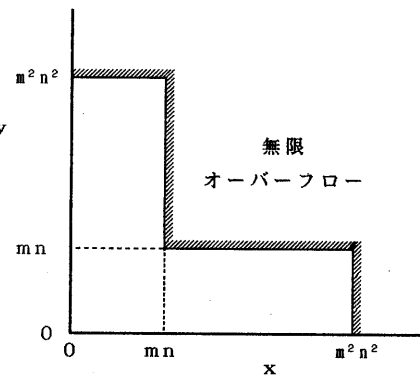


図 1.3 無限オーバーフローする領域

(証明)

必要性:  $\text{Max}(x, y) \geq m^2 n^2$  以上になるので、 $\text{Max}(x, y) = m^2 n^2$  となる合成状態が必ず存在する。

十分性: 初期状態  $s_0$  から  $s = s_r$  への各遷移状態  $s_i$  ( $i = 1, 2, \dots, r$ ) において  $s_i = [v_i, w_i, x_i, y_i]$  ( $\text{Min}(x_i, y_i) = mn$ ) という合成状態が存在した場合、定理 3 により  $[v', w', mn, mn]$  が到達可能であるから、定理 4 により無限オーバーフローが存在する。そうでない場合には、片方のチャネル上のメッセージ数が  $mn$  未満であり、かつ、もう片方のチャネル上のメッセージ数が  $m^2 n^2$  であるから、定理 2 ( $k = mn$ ) により無限オーバーフローが存在する。

(証明終わり)

2プロセスでメッセージが一種類のプロトコルに無限オーバーフローが存在するかどうかを判定するアルゴリズムを以下に示す。

#### [準備]

有限状態機械Mの各状態に1からmの番号を、有限状態機械Nの各状態に1からnの番号をつけておく（特に初期状態は1とする）。また、各合成状態  $[i, j, x, y]$  ( $\text{Min}(x, y) < mn$ かつ  $\text{Max}(x, y) < m^2 n^2$ ) に対応する  $2m^4 n^4 - m^3 n^3$  個の4次元配列 TEST(i, j, x, y) を用意する。

[メッセージが一種類のプロトコルの無限オーバーフローを検証するアルゴリズム]

```
(step 1)
begin
    TEST(i, j, x, y) := 未生成
        for all i, j, x, y
    TEST(1, 1, 0, 0) := 生成済
    OPEN := {[1, 1, 0, 0]}
(step 2)
while OPEN ≠ φ do
    (a) OPENから要素を1つ取り出し、
       これを  $[i', j', x', y']$  とする。
    (b)  $[i', j', x', y']$  から生成可能な全ての
        合成状態を生成する。
    (c) if その中に  $\text{Max}(x, y) = m^2 n^2$  または
         $\text{Min}(x, y) = mn$  となる状態がある。
        then stop {無限オーバーフローが
            存在する。}
        else TEST(i, j, x, y) = 未生成
        であるすべての生成された合成状態
         $[i, j, x, y]$  に対し、TEST(i, j, x, y)
        := 生成済とし、かつ、 $[i, j, x, y]$ 
        を OPEN に加える。
end.
```

step 1 に要する時間は明らかに  $\Theta(m^4 n^4)$  である。  
 $2m^4 n^4 - m^3 n^3$  個の合成状態  $[i, j, x, y]$  が、OPEN に加えられるのは高々 1 回である。また、OPEN 中の 1 つの合成状態  $[i', j', x', y']$  から生成される合成状態は、高々  $4mn$  個である。  
したがって、step 2 に要する時間は  $\Theta(m^5 n^5)$

である。よって、次の系が成り立つ。

#### [系 5.1]

メッセージが一種類のプロトコルにおいて、無限オーバーフローが存在するかどうかは  $\Theta(m^5 n^5)$  で判定できる。

#### 4. まとめ

メッセージが一種類のプロトコルの無限オーバーフローの検証が多項式時間で可能なことを示した。対象とする各プロトコルの種類と検証時間を表2に示す。

表2 無限オーバーフローの検証時間

対象とする プロトコル	オーダー	判定条件
同期形	$m^3 n^3$	定理 1
片方のチャネル 有限 ( $< k$ )	$k^2 m^3 n^3$	定理 2
一般	$m^5 n^5$	定理 5

ただし、m は M、n は N の状態数。

k は正の整数。

#### [参考文献]

- [1] 黒沢, 桑原, 茂野: 「分脈自由文法を利用した通信プロトコルの一検証法」信学技報 AL85-85(1986)
- [2] D. Brand and P. Zafiropulo: "On Communicating finite-state Machines", IBM Res. Rep. RZ1053, 1981
- [3] M. G. Gouda, C. H. Chow, and S. S. Lam: "On the Decidability of Livelock Detection in Networks of Communicating Finite State Machines", Proc. 4th IFIP Workshop on Protocol Specification, Testing, and Verification, edited by Y. Yemini, R. Strom, and S. Yemini, North-Holland, 1985, pp. 47-56.
- [4] J. Rubin and C. H. West: "An Improved Protocol Validation Technique", Computer Networks, vol. 6, pp. 65-73(1982)